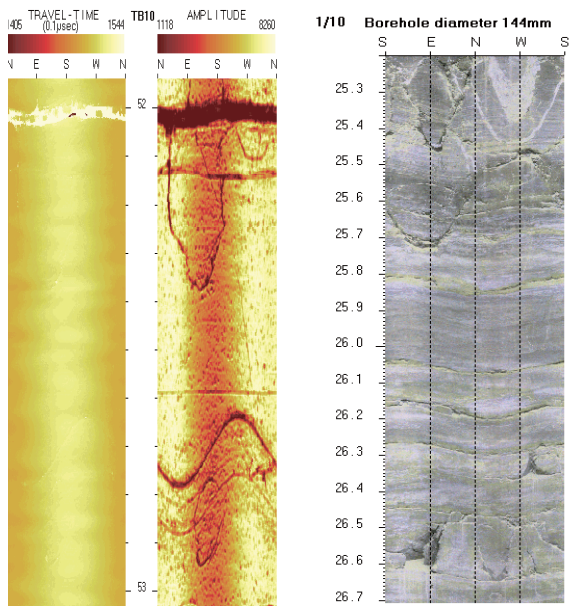
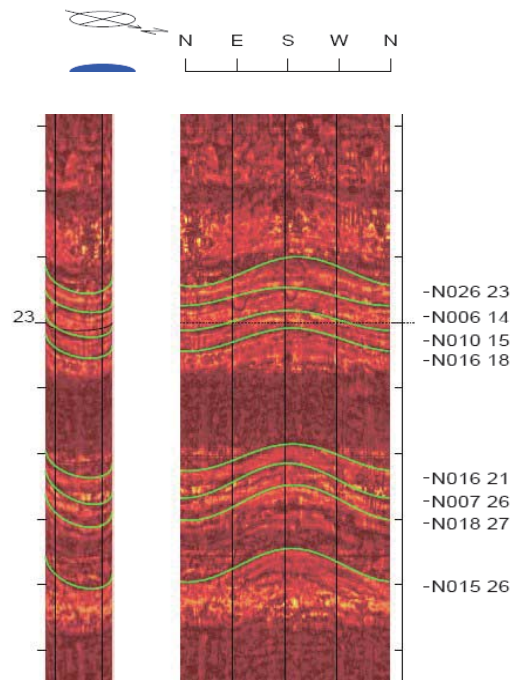


No.115 ~ p31



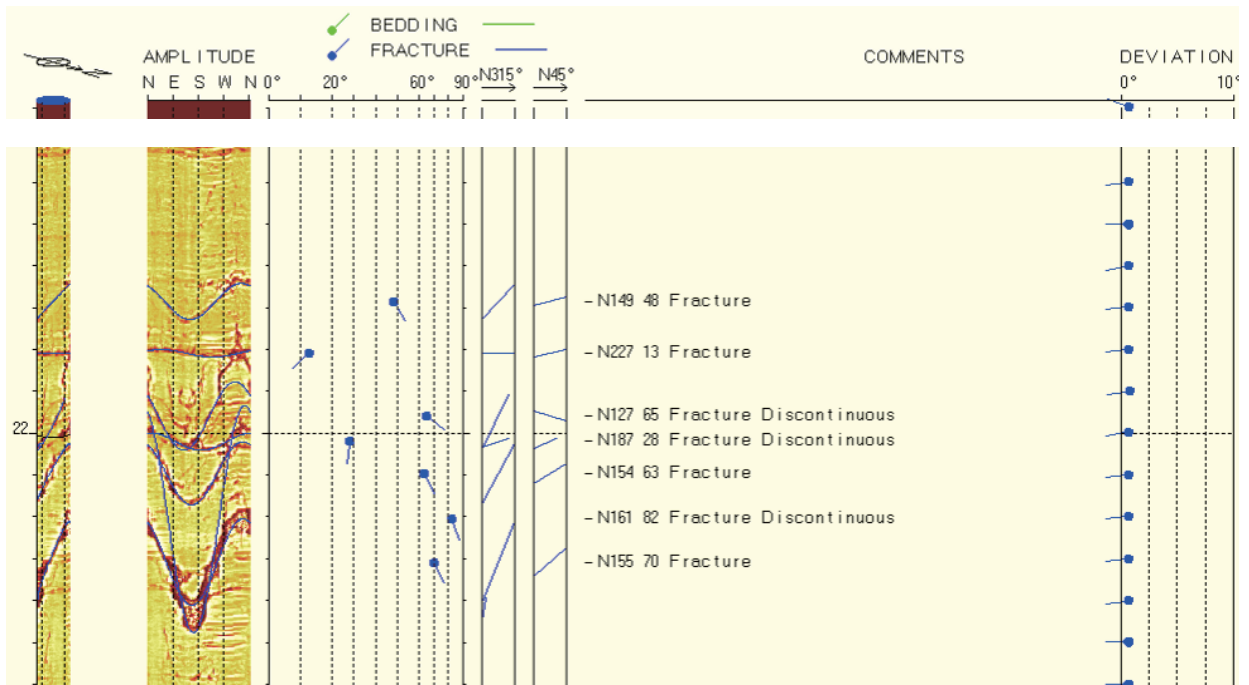
圖三 BHTV之走時與能量影像資料(左)，BOTV之攝影影像(右)(Siddans, 2002; Siddans and Worthington, 2002)

No.115 ~ p34



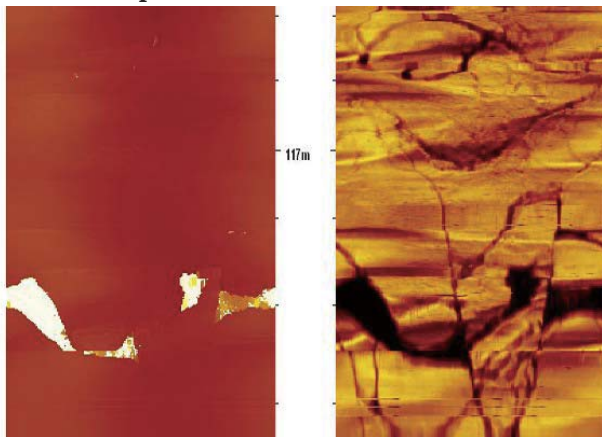
圖八 軟弱岩石BHTV分析結果(以深度23公尺為例)

No.115 ~ p32

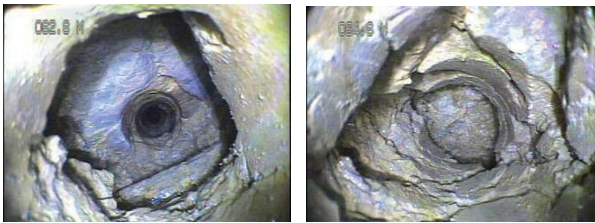


圖四 中新世沈積岩例孔內聲波造影儀探測結果(深度22公尺附近)

No.115 ~ p34



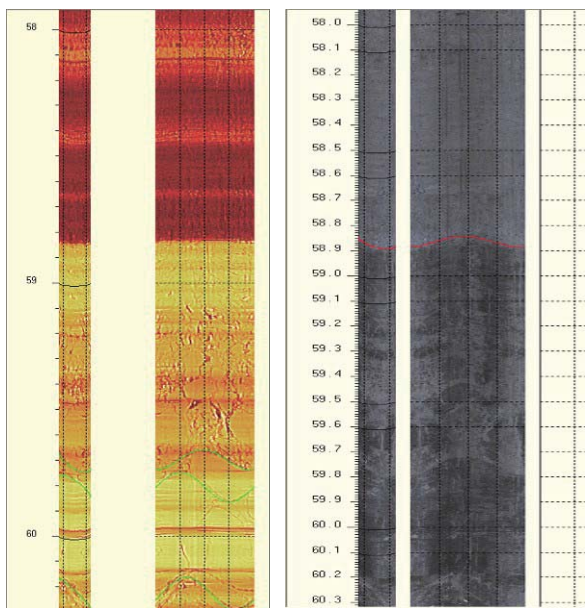
圖九 輕度變質砂頁岩失敗案例之BHTV部分節錄影像 (深度為117 m附近)



(左)深度為62.8m，有嚴重坍塌 (右)深度為64.8m，既有孔洞掩埋

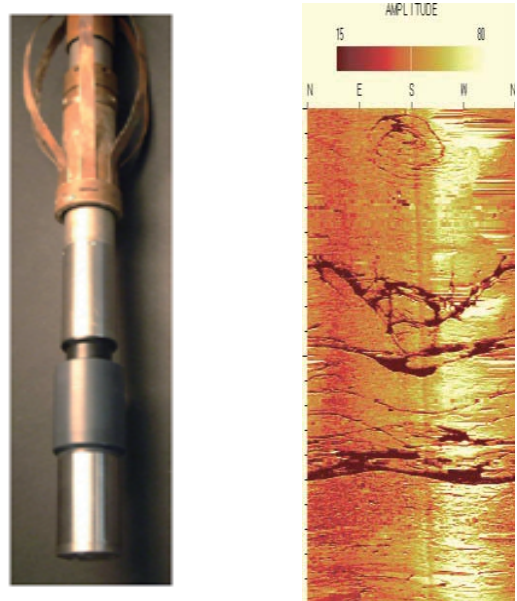
圖十 輕度變質砂頁岩失敗案例孔內攝影影像

No.115 ~ p35

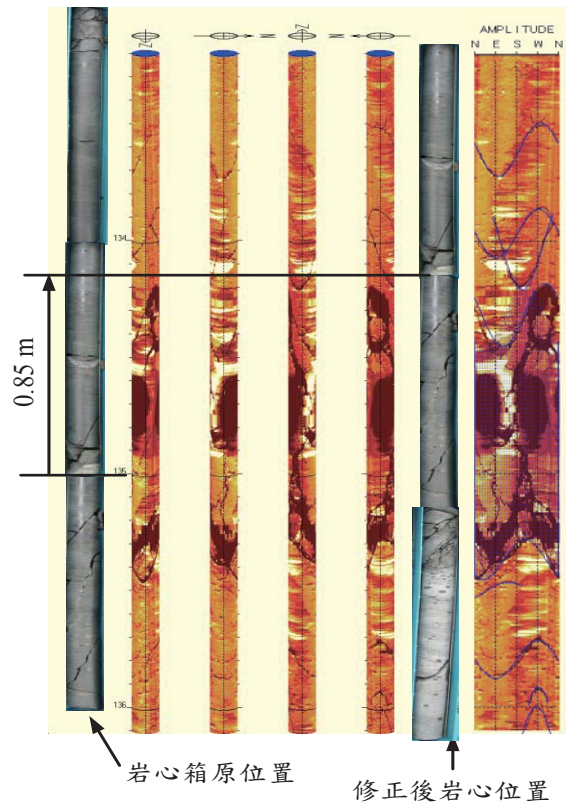


圖十三 (左)中部山區崩塌地質BHTV之影像資料，
(右)BOTV之攝影影像

No.115 ~ p41

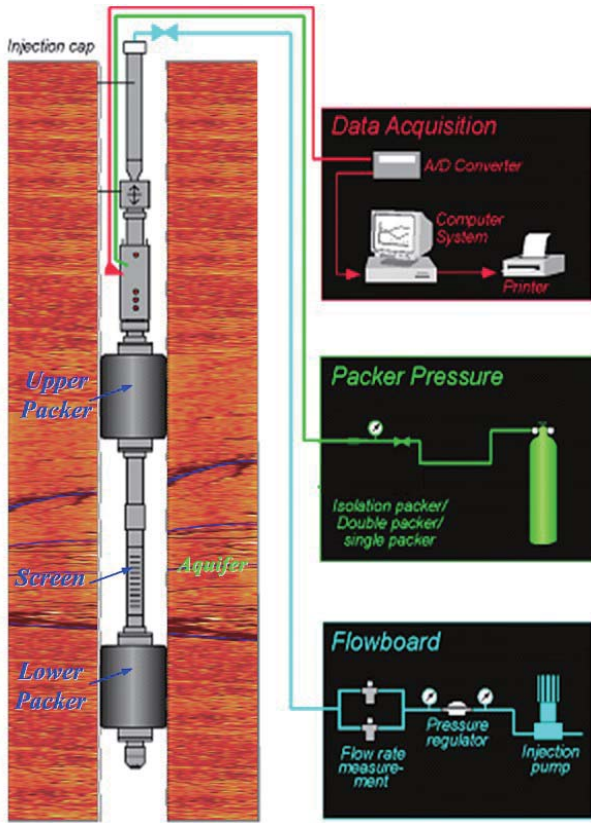


圖二 音射式孔內探測儀(左)與探測影像(右)



圖三 孔內攝影影像與鑽孔岩心比對結果

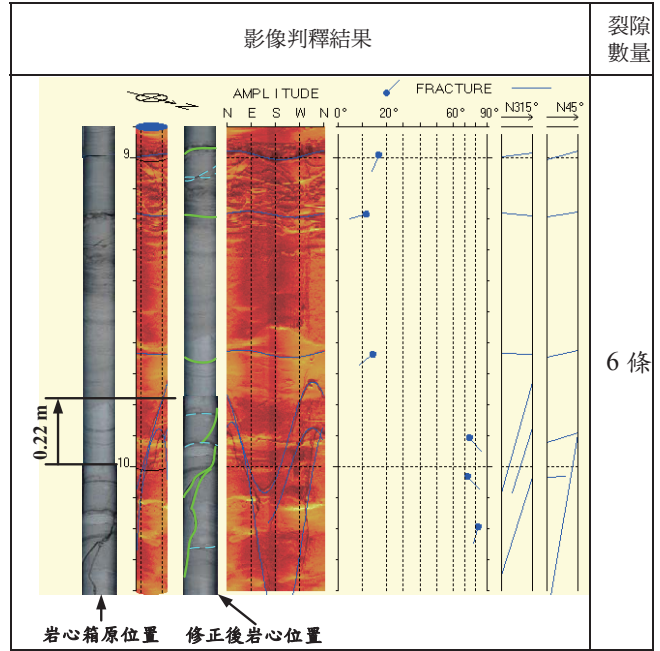
No.115 ~ p42



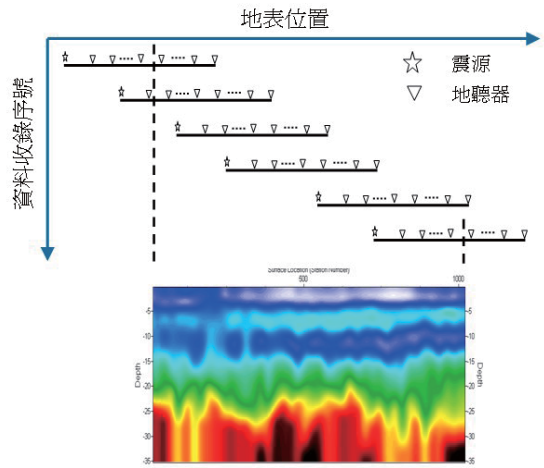
圖四 雙封塞水力試驗設備示意圖

No.115 ~ p45

表二 雙封塞水力試驗段範圍及影像判釋結果(試驗區段：8.9~10.4m)

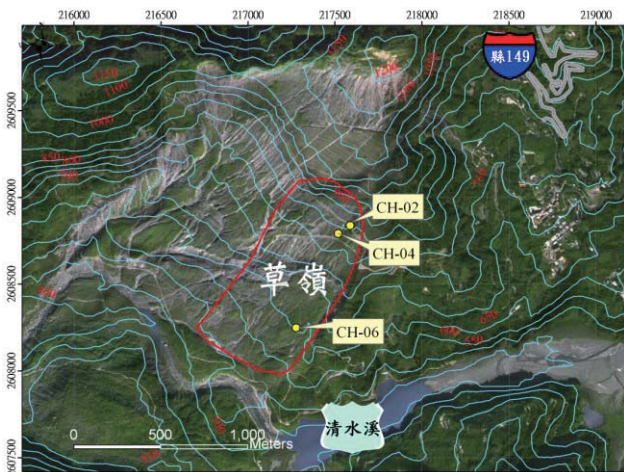


No.115 ~ p51



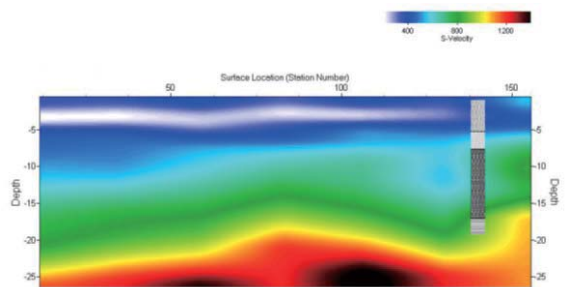
圖四 二維剪力波速剖面造影技術示意圖

No.115 ~ p45



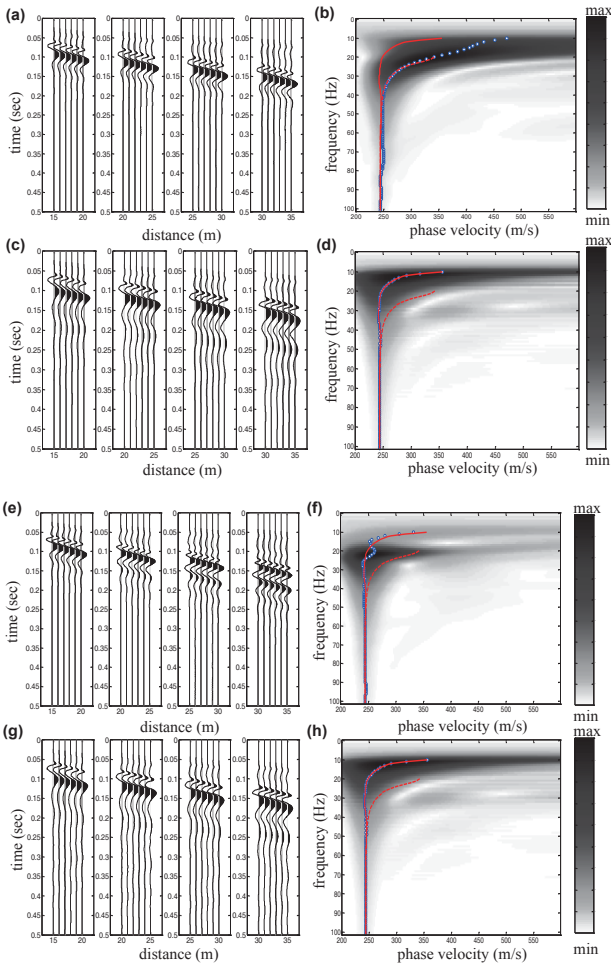
圖六 試驗場址範圍圈劃及地質鑽孔佈置圖

No.115 ~ p52



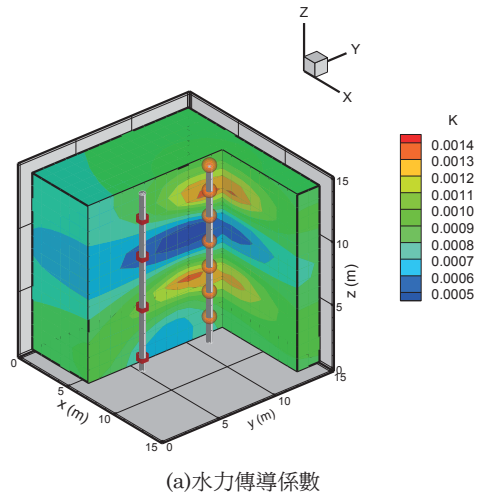
圖五 交大博愛校區地物試驗場址剪力波速剖面影像

No.115 ~ p57

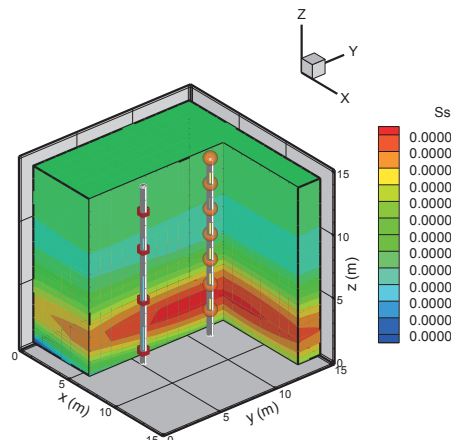


圖十四 高側向解析施測法數值驗證結果

.115 ~ p62



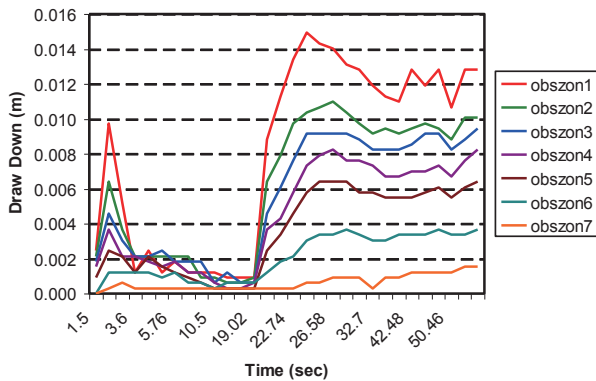
(a) 水力傳導係數



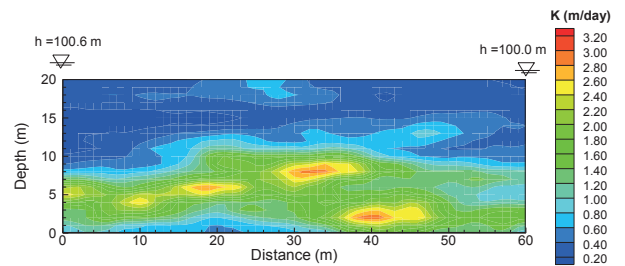
(b) 含水層儲蓄係數

圖五 利用B1井的4組抽水資料，配合相應的B4井水位觀測數據，代入水力剖面探測模式所推估

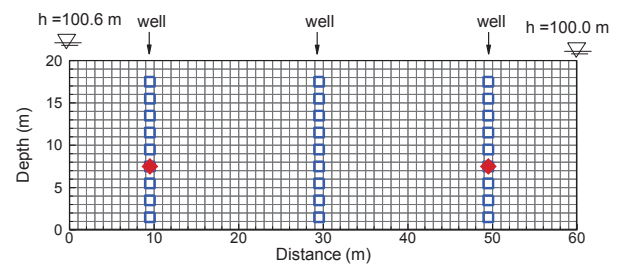
No.115 ~ p60



圖二 在相同的抽水井中，改變垂直向的抽水位置，在相同觀測井所量測到的水位隨時間變化圖

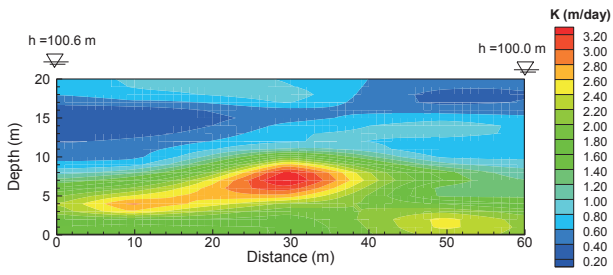


圖六 垂直二維測試例真實水力傳導係數分布場

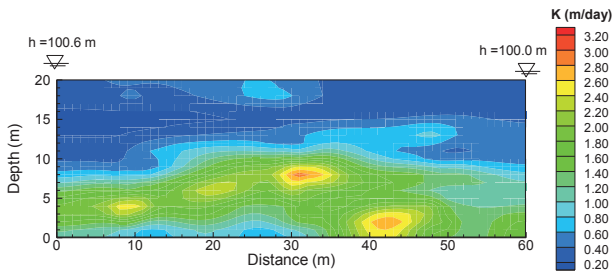


圖七 模擬區域的網格分布、觀測點位置以及抽水位置

No.115 ~ p63



圖八 由水力傳導係數及水頭量測數據代入克利金法 (cokriging) 所得的水力傳導係數分布場



圖九 利用2組抽水數據經過水力剖面探測推估模式計算後的水力傳導係數分布場